

## &lt;技術論文&gt;

## 燃燒氣體의 熱力學的 平衡組成計算에 관한 研究

許 昙 瑪\* · 李 靑 鍾\*\*

(1986年 9月 27日 接受)

Calculation of Thermodynamical Equilibrium Composition  
of Combustion Gases

Byung Ki Hur and Chung Jong Lee

**Key Words:** Minimization of Total Gibbs' Free Energy(總括 Gibbs 自由에너지의 最小化), Enthalpy Balance(엔탈피 收支), Thermodynamical Equilibrium(熱力學的 平衡), Adiabatic Process(斷熱過程), Stoichiometric Air Ratis(理論空氣比)

**Abstract**

A computer program based on the minimization of total Gibbs' free energy and enthalpy balance was developed to calculate the chemical equilibrium composition and adiabatic flame temperature, especially stressed on NO and CO concentration of Heavy oil.

Twenty four components of combustion gases which would be produced from the combustion of Heavy oil were chosen and utilized for the products composition analysis of competing combustion reaction.

As the results, following conclusions were turned out;

- (1) Maximum adiabatic flame temperature was found around to be 2900K, when the stoichiometric air ratio was 0.8.
- (2) Maximum NO quantity in adiabatic process was occurred when supplied air quantity was around 120% of theoretical air requirement.
- (3) NO and CO quantities were increased with combustion gas temperature at constant stoichiometric air ratio.
- (4) At constant temperature of combustion gas, NO quantity was increased and CO quantity was decreased with supplied air quantity.

**記 號 說 明**

$A_{ji}$  :  $s$ -系를 형성하고 있는  $j$ -元素의 總그램原子數

$a_{ij}$  :  $i$ -成分 1몰내에 포함되어 있는  $j$ -元素의 그램原子數

\* 正會員, 仁荷大學校 工科大學 生物工學科

$a_i$  : Gibbs 自由에너지를 나타내는 多項式的 係數

\*\* 正會員, 韓國重工業(株) 보일러設計室

$b_i$  : 热容量을 나타내는 多項式的 係數

$c_p$  : 热容量, cal/g·mol·K

$f$  : 퓨게시티, atm

$G_i$  :  $i$ -成 1分 몰의 Gibbs 自由에너지, cal/g-mole

$G_i^0$  : 298k, 1atm에서  $i$ -成分 1 몰의 Gibbs 自由에너지, cal/g-mole

$G^*$  :  $s$ -系의 總括 Gibbs 自由에너지, cal/g-mole

$N$  :  $s$ -系를 형성하는 成分數

$n_i$  :  $i$ -成分의 몰數

$H$  : 엔탈피, cal

$\gamma$  : 퓨게시티係數

$\lambda$  : Lagrangian Multiplier

時間的 测面에서 많은 效果를 거두고 있다<sup>(1,4,5)</sup>.

燃燒氣體의 組成은 燃燒反應에 대한 反應速度論의 機構와 热力學的 平衡機構에 의하여 解析되어진다. 燃燒反應은 反應에 관여하는 化學種의 數가 많을 뿐만아니라 그 反應機構 또한 대단히 복잡하기 때문에 燃燒氣

Table 1 Fuel characteristics

Composition	Wt(%)
C	85.87
H	11.85
N	0.27
S	0.89
O	1.075
Ash	0.045

Heating value	
HHV	44.45 MJ/kg
LHV	41.86 MJ/kg

에너지를 얻기위하여 燃料를 燃燒시켰을 때 生成되는 燃燒氣體의 組成은 燃料의 組成, 燃燒氣體의 불꽃溫度, 燃燒에 사용된 空氣量, 燃燒氣體가 燃燒爐 内에 머무는 滯滯時間, 燃燒爐 内部의 機何學的 構造 및 燃料의 注入方法 等에 영향을 받는다<sup>(1~3)</sup>.

燃料의 燃燒 時에 生成되는 氣體의 組成을 實測하기 위하여서는 여러 種類의 裝備는 물론 많은 비용이 소요된다. 따라서 燃燒氣體의 組成을 理論的으로 推算하여, NO<sub>x</sub>, CO 및 C<sub>x</sub>H<sub>y</sub>等의 公害物質을 減少시키거나 热效率을 提高시키기 위한 燃燒裝置 및 燃燒制御方法의 開發과 热機關의 性能解析에 應用함으로써 經濟的

體의 모든 組成을 反應速度論의 機構에 의하여 解析한다는 것은 대단히 어렵다. 따라서 燃燒氣體 中 두 세 種類의 化學種에 대한 組成은 反應速度論의으로 解析할 수 있으나 解析하여야 할 化學種의 數가 그 以上이

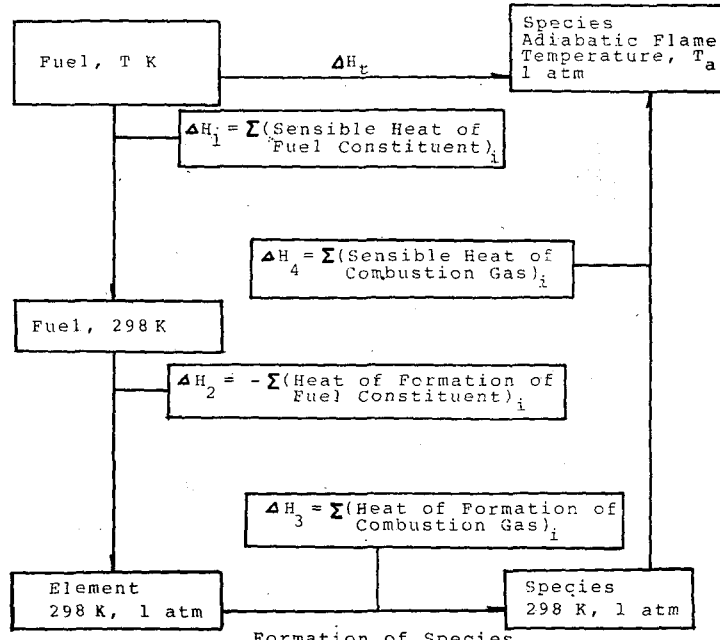


Fig. 1 Enthalpy of calculation of each step of fuel combustion product

되며 热力學的 平衡機構를 이용하고 있다<sup>(1,5~7)</sup>.

本研究에서는 燃燒氣體의 热力學的 平衡組成 計算을 위한 數式을 Gibbs의 自由에너지 最小化法에 의하여 誘導하고 이를 컴퓨터 프로그램화하여, Table 1의 特性을 지닌 燃料에 대하여 i) 燃燒空氣量에 따른 平衡組成 및 斷熱불變溫度, ii) 燃燒溫度變化에 따른 平衡組成의 變化를 計算함으로써 燃燒氣體의 生成機構를 热力學的으로 解析하였다.

## 2. 燃燒氣體의 平衡組成 計算式

### 2.1 斷熱불變溫度

燃料를 燃燒시켰을 때 生成되는 燃燒氣體의 最高불변溫度는 斷熱過程에서 發生된다. 燃燒氣體의 組成을 알면 斷熱불變溫度는 엔탈피 收支式으로 부터 算出할 수 있다. Fig. 1은 燃料를  $TK$ 에서 燃燒시켰을 때 수반되는 엔탈피 收支式을 위한 그림이다. Hess의 法則에 의하여  $TK$ 의 燃料가 燃燒되어  $T_cK$ 의 燃燒生成物로 變할 때 수반되는 엔탈피 收支式을 만들면 다음과 같다.

$$\Delta H_i = \Delta H_1 + \Delta H_2 + \Delta H_3 + \Delta H_4 \quad (1)$$

위 式의 各 엔탈피變化에 대한 計算式은 다음과 같다.

$$\Delta H_1 = \sum_{i=1}^{298} n_i c_{p,i} dT \quad (2a)$$

$$\Delta H_2 = - \sum_{i=1}^k n_i (\Delta H_{f,298})_i \quad (2b)$$

$$\Delta H_3 = \sum_{j=1}^n n_j (\Delta H_{f,298})_j \quad (2c)$$

$$\Delta H_4 = \sum_{j=1}^n n_j \left[ \int_{298}^{T_c} C_{p,j} dT + \Delta H_{f,j} + \Delta H_{s,j} \right] \quad (2d)$$

위 式에서,

$K$ =燃料의 成分數

$n$ =mole 數

$\Delta H_{f,298}=298K$ 에서 成分 1 둘(mole)當 生成熱

$N$ =燃燒生成物의 成分數

$\Delta H_i=298K$ 에서 固相인 成分이 298 대지  $T_cK$

온도범위 内에서 液相으로 變할 때 수반되는 潛熱

$\Delta H_s=298K$ 에서 液相인 成分이 298 대지  $T_cK$  온도범위에서 氣相으로 變할 때 수반되는 潛熱

燃燒가 斷熱過程에 의하여 일어나는 경우에는 燃燒反應에 수반되는 總엔탈피變化는 다음 式의 條件을 만족시켜야 한다.

$$\Delta H_i = Q = 0 \quad (3)$$

따라서 燃燒生成物의 斷熱불變溫度는 式 (3)의 條件을 만족하는 温度이다.

### 2.2 燃燒生成物의 热力學的 平衡組成

反應系의 平衡狀態가 두 種類 이상의 化學反應에 의하여 이루어질 때 平衡組成은 平衡定數法과 Gibbs 自由에너지의 最小化法에 의하여 計算된다<sup>(8,9)</sup>. 燃燒系의 平衡組成을 計算하기 위하여 平衡定數法을 사용하는 경우에는 化學平衡式의 選定問題가 용이하지 않을 뿐만 아니라 平衡組成計算을 위하여 풀어야 할 式이 非線型이기 때문에 컴퓨터를 이용하는 解法에 쓸 수 있는 프로그램을 一般화하기가 대단히 난해하다. 따라서 化學反應이 복잡한 燃燒系의 平衡組成은 系의 總自由에너지가 平衡狀態에서는 最小值에 이른다는 Gibbs 自由에너지 最小化法을 이용하여 計算하는 것이 타당하다.

#### (1) 物質收支式

$W$ 個의 元素로 構成된 燃料를 燃燒시켰을 때 生成되는 燃燒生成物의 數  $N$ 으로 형성되어 있는 系  $S$ 를 考察하여 보자, 燃料를 構成하고 있는 임의의  $I$ -元素의 總 그램原子數  $A_i$ 와 系  $S$ 의 構成成分에 대한  $I$ -元素의 總 그램原子數 사이에는 다음과 같은 物質收支式  $W$ 個가 成立된다.

$$\sum_{j=1}^N a_{ij} n_j = A_i \quad (1 \leq i \leq W) \quad (4)$$

위 式에서

$a_{ij}$ = $j$ -成分 1 둘을 構成하는  $I$ -元素의 그램原子數

$n$ = $j$ -成分의 물數

#### (2) Gibbs 自由에너지式

임의의 溫度  $T$ 와 壓力  $P$ 에서 系  $S$ 에 대한 總括 Gibbs 自由에너지  $(G^i)_{T,P}$ 는 式 (5)와 같은 成分 물數의 函數로 表現된다.

$$(G^i)_{T,P} = G(n_1, n_2, \dots, n_N) \quad (5)$$

式 (5)의  $(G^i)_{T,P}$ 는 系  $S$ 를 構成하는 各 成分의 물當自由에너지  $\bar{G}_i$ 와 물數  $n_i$ 로 表示할 수 있다.

$$\begin{aligned} (G^i)_{T,P} &= \sum_{j=1}^N n_j (\bar{G}_j)_{T,P} \\ &= \sum_{j=1}^N n_j [(\bar{G}_j)_{T,P} - \bar{G}_j^0] + \bar{G}_j^0 \end{aligned} \quad (6)$$

위 式에서  $\bar{G}_j^0$ 는 298K 標準狀態에서  $j$ -成分의 물當自由에너지이다. 式 (6)의 오른편 팔호안의 項을  $j$ -component의 풀개시티수 表現하면 다음과 같다.

$$(\bar{G}_j)_{T,P} - \bar{G}_j^0 = RT \ln \frac{f_j}{f_j^0} \quad (7)$$

윗 式에서  $f_j^0$ 는 理想氣體狀態에서의  $j$ -成分의 퓨게시티를 의미한다. 燃燒反應은 1 氣壓, 高溫에서 일어나기 때문에 生成된 燃燒氣體는 理想氣體와 같이 舉動한다. 따라서 式 (7)의 퓨게시티 比는 物分率로 代置할 수 있다.

$$(\bar{G}_j)_{T,P} - \bar{G}_j^0 = RT \ln \frac{n_j}{n} \quad (8)$$

윗 式에서,

$$n = \sum_{j=1}^N n_j$$

式 (8)을 式 (6)에 代入하고 整理하면 系  $S$ 에 대한 總括 Gibbs 自由에너지는 다음 式으로 表現된다.

$$\frac{(G^t)_{T,P}}{RT} = \sum_{j=1}^N n_j \left( \frac{\bar{G}_j^0}{RT} + \ln \frac{n_j}{n} \right) \quad (9)$$

### (3) 平衡組成 計算式

平衡狀態의 組成은 式 (4)의 制約條件을 만족시키는 燃燒氣體의 物 分率에서 式 (9)를 最小化시키는 物 分率이다. 이 倘 問題를 解決하기 위하여서는 Lagrangian Multiplier 를 導入하는 方法이 便利 사용되어지고 있다<sup>(10)</sup>. Lagrangian Multiplier  $\lambda_i$ 를 導入하면 式 (4)와 (9)로부터 다음과 같은 平衡組成 計算式을 얻을 수 있다.

$$\begin{aligned} F &= \frac{G^t}{RT} + \sum_{i=1}^W \lambda_i \left( -\sum_{j=1}^N a_{ij} n_j + A_i \right) \\ &= \sum_{j=1}^N n_j \left( \frac{\bar{G}_j^0}{RT} + \ln \frac{n_j}{n} \right) \\ &\quad + \sum_{i=1}^W \lambda_i \left( -\sum_{j=1}^N a_{ij} n_j + A_i \right) \end{aligned} \quad (10)$$

式 (10)을 最小로 하는 組成  $n_j$ 를 구하기 위하여, 燃燒氣體 各 成分의 初期 物 分率를 가정하고 이 값으로부터 보다 적합한 값을 찾고 이들 두 값의 차이가 요구되는 收斂值에 接근할 때까지 위의 過程을 반복하는 Steepest Descent 方法을 이 용하였다<sup>(11)</sup>.  $k$  번 반복과정을 거친 式 (10)의 值은 다음 式으로 表現된다.

$$\begin{aligned} F^k &= \sum_{j=1}^N n_j^k \left( \frac{\bar{G}_j^0}{RT} + \ln \frac{n_j^k}{n_k} \right) + \sum_{i=1}^W \lambda_i \left( -\sum_{j=1}^N a_{ij} n_j^k + A_i \right) \\ &= \Phi_1^k + \Phi_2^k \end{aligned} \quad (11)$$

윗 式에서

$$\begin{aligned} \Phi_1^k &= \sum_{j=1}^N n_j^k \left( \frac{\bar{G}_j^0}{RT} + \ln \frac{n_j^k}{n_k} \right) \\ \Phi_2^k &= \sum_{i=1}^W \lambda_i \left( -\sum_{j=1}^N a_{ij} n_j^k + A_i \right) \end{aligned}$$

式 (11)의  $F$ 를  $n_1^k, n_2^k, \dots, n_N^k$ 에 대하여 Taylor 級數로 전개하면 다음 式과 같아 된다.

$$\begin{aligned} F^{k+1} - F^k &= \sum_{j=1}^N (n_j^{k+1} - n_j^k) \frac{\partial \Phi_1^k}{\partial n_j} \\ &\quad + \sum_{i=1}^N \sum_{m=1}^N \frac{1}{2} (n_m^{k+1} - n_m^k) (n_m^{k+1} - n_m^k) \frac{\partial^2 \Phi_1^k}{\partial n_m \partial n_m} \end{aligned}$$

$$+ \cdots + \sum_{i=1}^W \lambda_i \left[ -\sum_{j=1}^N a_{ij} (n_j^{k+1} - n_j^k) \frac{\partial \Phi_1^k}{\partial n_j} \right] \quad (12)$$

윗 式에서  $\Phi_1$ 의 二階 以上의 值을 무시하고 整理하면 다음 式과 같아 된다.

$$\begin{aligned} F^{k+1} &= F^k + \sum_{j=1}^N \left( \frac{\bar{G}_j^0}{RT} + \ln \frac{n_j^k}{n^k} \right) (n_j^{k+1} - n_j^k) \\ &\quad + \frac{1}{2} \sum_{j=1}^N n_j^k \left( \frac{n_j^{k+1} - n_j^k}{n_j^k} - \frac{n^{k+1} - n^k}{n^k} \right)^2 \\ &\quad + \sum_{i=1}^W \lambda_i \left[ -\sum_{j=1}^N a_{ij} (n_j^{k+1} - n_j^k) \right] \end{aligned} \quad (13)$$

式 (4)의 條件을 만족시키면서 式 (13)의 最小가 되는  $n_j$ 의 值을 찾으면,  $F^{k+1}$  즉  $(G^t)^{k+1}/RT$  値이 最小가 된다. 式 (14)는 式 (13)의 最小가 되는 條件이다.

$$\frac{\partial F^{k+1}}{\partial n_j^{k+1}} = 0, \quad 1 \leq j \leq N \quad (14)$$

式 (13)을  $n_j^{k+1}$ 로 顛미분하고 式 (14)의 條件을 適用시키면 다음 式을 얻게 된다.

$$\begin{aligned} \frac{\partial F^{k+1}}{\partial n_j^{k+1}} &= \left( \frac{\bar{G}_j^0}{RT} + \ln \frac{n_j^k}{n^k} \right) + \left( \frac{n_j^{k+1}}{n_j^k} - \frac{n^{k+1}}{n^k} \right) \\ &\quad - \sum_{i=1}^W \lambda_i a_{ij} = 0 \end{aligned} \quad (15)$$

式 (15)를 모든 燃燒成分에 適用하면  $N$ 個의 方程式을 얻는다. 物質收去式 (4)의  $W$ 個 方程式과 式 (16)의 方程式의 數量을 合하면 풀어야 할 方程式의 數는  $(N+W+1)$ 個이다.

$$n^{k+1} = \sum_{j=1}^N n_j^{k+1} \quad (16)$$

系  $S$ 에 관여하는 未知數의 總 數는  $n_j^{k+1}$ 의  $N$ 個,  $\lambda_i$ 의  $W$ 個,  $n^{k+1}$ 의 1個로써  $(N+W+1)$ 個이다. 따라서 구할려고 하는 未知數와 方程式의 數가 同一하여 구할려고 하는 未知數의 值을 얻을 수 있다. 그러나 다음 過程을 通하여 풀어야 할 方程式의 數를 줄이므로써 위의 문제를 單純화할 수 있다. 式 (15)로부터  $n_j^{k+1}$ 을 구하면 다음 式과 같아 된다.

$$\begin{aligned} n_j^{k+1} &= n^{k+1} \frac{n_j^k}{n^k} + n^k \left( \sum_{i=1}^W \lambda_i a_{ij} \right) \\ &\quad - n_j^k \left( \frac{\bar{G}_j^0}{RT} + \ln \frac{n_j^k}{n^k} \right) \end{aligned} \quad (17)$$

式 (17)을  $j=1$ 에서 부터  $N$ 까지 합하고 整理하면 다음 式을 얻을 수 있다.

$$\sum_{j=1}^N n_j^k \sum_{i=1}^W \lambda_i a_{ij} = \sum_{j=1}^N n_j^k \left( \frac{\bar{G}_j^0}{RT} + \ln \frac{n_j^k}{n^k} \right) \quad (18)$$

式 (4)를 윗 式에 適用하고 오른편 項을  $A_i$ 項으로 整理하면 다음 式 (19)를 얻게 된다.

$$\sum_{i=1}^W \lambda_i A_i = \sum_{j=1}^N n_j^k \left( \frac{\bar{G}_j^0}{RT} + \ln \frac{n_j^k}{n^k} \right) \quad (19)$$

또 式 (17)의  $n_j^{k+1}$ 의 值을 物質收去式 (4)에 代入하면  $W$ 個의 方程式 (20)을 얻게 된다.

$$\sum_{i=1}^N a_{li} \left[ n^{k+1} \frac{n_j^k}{n^k} + n_{j,l} \left( \sum_{m=1}^N \lambda_m a_{mj} \right) - n_j^k \left( \frac{\bar{G}_j^0}{RT} + \ln \frac{n_j^k}{n^k} \right) \right] = A_l, \quad (l=1, 2, \dots, W) \quad (20)$$

$$= \sum_{m=1}^N \lambda_m \sum_{i=1}^N a_{li} a_{mj} n_j^k + A_l \left( \frac{n^{k+1}}{n^k} - 1 \right) \quad (l=1, 2, \dots, W) \quad (21)$$

式 (4)와 (20)을 組合하고 整理하면 다음 式과 같은  
W個의 方程式을 얻을 수 있다.

燃燒氣體成分  $n_j$ 의 値을 구하기 위하여 수행되는 반복

**Table 2** Constants in polynomial equation of heat capacity,  $C_p = b_0 + b_1 T + b_2 T^2 + b_3 T^3$ ,  $C_p = \text{cal/g·mol·K}$ ,  $T = K$

No.	Comp.	$b_0$	$b_1$	$b_2$	$b_3$
101!SO3 !	.51878538E+01!	.22495147E-01!-.10907153E-04!	.16484405E-08!		
102!CHNO !	.47321615E+01!	.18819105E-01!-.83617188E-05!	.12140950E-08!		
103!CHO !	.45439329E+01!	.10930251E-01!-.46853420E-05!	.66785177E-09!		
104!CH2O !	.36528873E+01!	.16788632E-01!-.64341457E-05!	.84068352E-09!		
105!CO !	.43262768E+01!	.65119900E-02!-.31072350E-05!	.47420756E-09!		
106!CO2 !	.41158895E+01!	.14910787E-01!-.68596628E-05!	.10143053E-08!		
107!COS !	.46252928E+01!	.15687894E-01!-.75438584E-05!	.11452022E-08!		
108!CS2 !	.52345915E+01!	.15958562E-01!-.80402133E-05!	.12454693E-08!		
109!H2 !	.40643120E+01!	.59185736E-02!-.28213835E-05!	.45233262E-09!		
110!H2O !	.48524714E+01!	.78881793E-02!-.29010125E-05!	.39789216E-09!		
111!H2S !	.45642109E+01!	.10171466E-01!-.40831128E-05!	.56694294E-09!		
112!N2 !	.43530884E+01!	.62584281E-02!-.29571956E-05!	.45024762E-09!		
113!OS !	.43445263E+01!	.80732554E-02!-.41771482E-05!	.65955463E-09!		
114!O2S !	.48762789E+01!	.14234129E-01!-.69116704E-05!	.10530894E-08!		
115!S !	.37139301E+01!	.48258714E-02!-.35025487E-05!	.64798078E-09!		
116!O2 !	.42975006E+01!	.72091147E-02!-.34987916E-05!	.55068439E-09!		
117!CHN !	.41827803E+01!	.13093058E-01!-.56282261E-05!	.81358098E-09!		
118!CH4 !	.30520325E+01!	.19937877E-01!-.66135308E-05!	.76980378E-09!		
119!CS !	.42875919E+01!	.77879317E-02!-.39453780E-05!	.61570837E-09!		
120!C2H2 !	.42448483E+01!	.19398279E-01!-.81678763E-05!	.11658912E-08!		
121!C2H4 !	.27517509E+01!	.29390860E-01!-.11109482E-04!	.14377184E-08!		
122!NO !	.46151648E+01!	.63712150E-02!-.30810515E-05!	.47263948E-09!		
123!NO2 !	.45521011E+01!	.13508525E-01!-.63750549E-05!	.95037778E-09!		
124!C !	-.37042454E-01!	.82417279E-02!-.36596684E-05!	.52372262E-09!		

Table 3 Constants in polynomial equation of Gibbs' free energy,  $G = a_0 + a_1T + a_2T^2 + a_3T^3$ ,  $G = \text{cal/g-mole}$ ,  $T = K$

No.	Comp.	$a_0$	$a_1$	$a_2$	$a_3$
!01!SO3	!	-94130890E+02	.14370885E-01	.12125087E-04	-.18577850E-08
!02!CHNO	!	-.27674240E+02	.69297440E-02	.10487238E-05	-.14884216E-09
!03!CHO	!	-.29334154E+01	-.12514956E-01	.11469137E-05	-.10843447E-09
!04!CH2O	!	-.27555161E+02	.46261847E-02	.22705372E-05	-.32637448E-09
!05!CO	!	-.26623306E+02	-.21403156E-01	.18649115E-06	.42785150E-10
!06!C02	!	-.93990845E+02	-.95190131E-03	.35263508E-06	-.34491368E-10
!07!COS	!	-.32490250E+02	-.28023347E-01	.12337301E-04	-.18293258E-08
!08!CS2	!	.28877774E+02	-.50518736E-01	.23484157E-04	-.34762080E-08
!09!H2	!	.00000000E+00	.00000000E+00	.00000000E+00	.00000000E+00
!10!H2O	!	-.57625153E+02	.10040767E-01	.17822031E-05	-.25499469E-09
!11!H2S	!	-.46313896E+01	-.15633583E-01	.13318968E-04	-.19986921E-08
!12!N2	!	.00000000E+00	.00000000E+00	.00000000E+00	.00000000E+00
!13!OS	!	.57568496E+00	-.25983091E-01	.11907074E-04	-.17639854E-08
!14!O2S	!	-.70720474E+02	-.79378560E-02	.12243306E-04	-.18355575E-08
!15!S	!	.00000000E+00	.00000000E+00	.00000000E+00	.00000000E+00
!16!O2	!	.00000000E+00	.00000000E+00	.00000000E+00	.00000000E+00
!17!CHN	!	.31227310E+02	-.85377097E-02	.45100910E-06	-.67687481E-10
!18!CH4	!	-.17612747E+02	.18936452E-01	.38791413E-05	-.60261307E-09
!19!CS	!	.54849380E+02	-.46389744E-01	.11953510E-04	-.17143336E-08
!20!C2H2	!	.54258636E+02	-.14540266E-01	.94062318E-06	-.12579508E-09
!21!C2H4	!	.12932176E+02	.11897877E-01	.39374381E-05	-.61695404E-09
!22!NO	!	.21532074E+02	-.28488969E-02	-.11225870E-06	.20524943E-10
!23!NO2	!	.80934935E+01	.14385130E-01	.43072947E-06	-.75370085E-10
!24!C	!	.00000000E+00	.00000000E+00	.00000000E+00	.00000000E+00

과정에서  $k$  번째의 값  $n_j^k$ 의 값을 알면 式 (16)과 (21)

$$U = [n^{k+1}/n^k - 1] \quad (23)$$

로부터 구하여야 할 未知數는  $\lambda_i$  가  $W$  個,  $n^{k+1}$ 이 1 個이며 方程式의 數는  $(W+1)$ 個이다.

式 (19), (21), (22) 및 (23)으로부터 未知數  $\lambda_i$  과  $n^{k+1}$ 을 구하기 위한 1次線型聯立方程式을 만들면 다음과 같다.

다음 式과 같이 새로운 變數를 定義하자.

$$x_{lm} = \sum_{i=1}^N a_{li} a_{ni} n_j^k$$

(22)

$$\lambda_1 x_{11} + \dots + \lambda_w x_{1w} + A_1 U = \sum_{i=1}^N a_{1i} n_j^k \left( \frac{\bar{G}_i^0}{RT} + \ln \frac{n_j^k}{n^k} \right)$$

$$\lambda_1 x_{21} + \dots + \lambda_w x_{w1} + A_2 U = \sum_{i=1}^N a_{2i} n_i^k \left( \frac{\bar{G}_j^k}{RT} + \ln \frac{n_j^k}{n^k} \right)$$

$$\lambda_1 x_{w1} + \dots + \lambda_w x_{ww} + A_w U = \sum_{i=1}^N a_{wi} n_i^k \left( \frac{\bar{G}_j^0}{RT} + \ln \frac{n_j^k}{n^k} \right)$$

$$\lambda_1 A_1 + \dots + \lambda_w A_w + 0 = \sum_{i=1}^N n_i^k \left( \frac{\bar{G}_j^0}{RT} + \ln \frac{n_j^k}{n^k} \right) \quad (24)$$

式 (24)를 Gauss 消去法에 의하여 풀이하면  $W$ 개의  $\lambda$  값과 1개의  $U$  값을 얻게 된다. 구하여진 값을 式 (17) 과 (23)에 대입하면 燃燒氣體成分에 대한 물수  $n_j^{k+1}$  의  $N$ 개와  $n^{k+1}$ 의 값을 구할 수 있다.

### 2.3 热力學的 資料

式 (3)과 (24)를 풀기 위해서는 任意의 温度  $TK$ 에서 成分  $j$ 에 대한 Gibbs 自由能, 热容量 및 298K에서의 標準生成熱이 필요하다. 이를 資料는 參考文獻

(11)의 Table의 値을 最小自乘法에 의하여 다음 式과 같이 温度의 3次 多項式으로 表示함으로써 임의의 温度에서도 热力學的 資料를 얻을 수 있도록 하였다.

$$c_p = a_0 + a_1 T + a_2 T^2 + a_3 T^3$$

$$G = b_0 + b_1 T + b_2 T^2 + b_3 T^3 \quad (25)$$

윗 式에서  $c_p$ 는 cal/g·mol-k,  $T$ 는 K,  $G$ 는 cal/g·mol을 나타낸다. Table 2와 Table 3은 本研究에서 고려한 燃燒成分들에 대한 式 (25)의 係數들의 値을 나타내고 있다.

### 2.4 컴퓨터 프로그램

Fig. 2는 앞에서 誘導된 式들을 이용하여 (i) 임의의 温度  $T$ 에서 燃料의 燃燒氣體組成과, (ii) 斷熱狀態에서 過剩空氣量에 따른 斷熱불完全溫度 및 燃燒氣體組成을 計算하기 위하여 作成된 컴퓨터 프로그램의 流程이다.

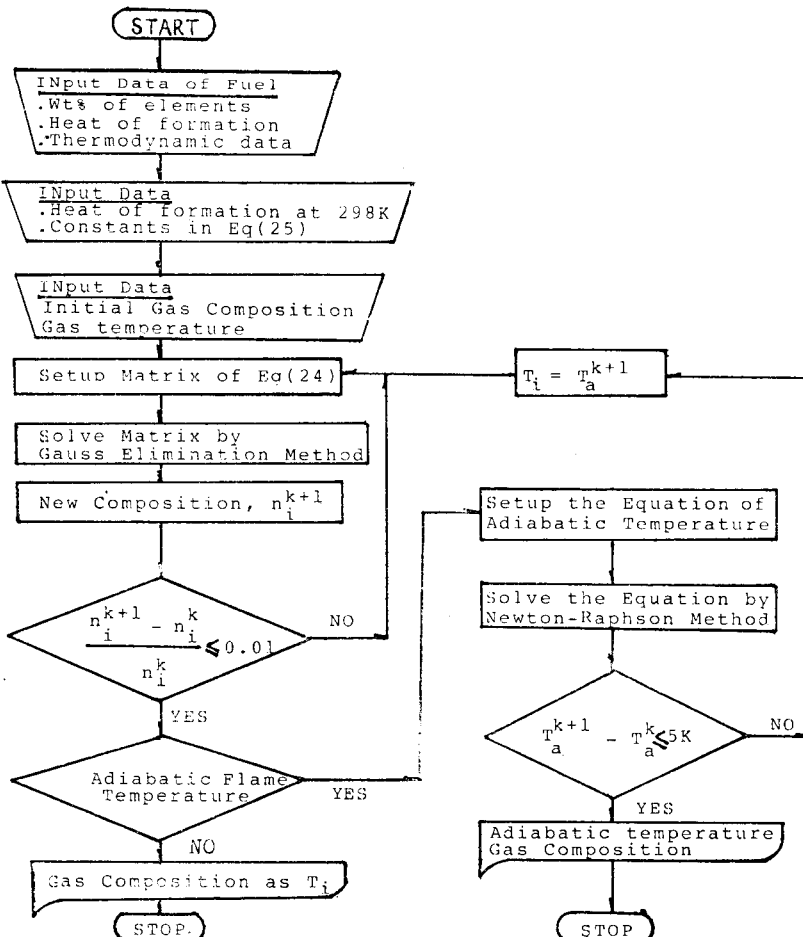


Fig. 2 Flow chart

### 3. 結果 및 檢討

本研究에서는 Table 1의 特性을 지닌 燃料를 사용하여, (i) 一定 溫度 1000, 1500, 1600, 2000K에서 過剩空氣量에 따른 燃燒氣體의 平衡組成과, (ii) 理論空氣量의 80%에서 150%까지를 사용했을 때 斷熱불꽃溫度 및 그 때의 平衡組成에 대하여 앞에서 論及한 컴퓨터 프로그램을 이용하여 計算하고 結果를 解析하였다.

Table 4는 燃燒氣體의 溫度가 1500K이고 理論空氣

**Table 4** Combustion gas quantity of Heavy oil for theoretical air and combustion temperature of 1500K

No.	Gas	Wt(g)	Wt(g)/kg of fuel
! 01 !	S03 !	.16496200E-01 !	.16683160E-01 !
! 02 !	CHNO !	.12090490E-08 !	.12227510E-08 !
! 03 !	CHO !	.38234260E-08 !	.38667570E-08 !
! 04 !	CH2O !	.47886990E-11 !	.48429690E-11 !
! 05 !	CO !	.48530810E+00 !	.49080810E+00 !
! 06 !	C02 !	.31477890E+04 !	.31834630E+04 !
! 07 !	COS !	.30936900E-09 !	.31287510E-09 !
! 08 !	CS2 !	.20167070E-23 !	.20395620E-23 !
! 09 !	H2 !	.11086510E-01 !	.11212160E-01 !
! 10 !	H2O !	.10664020E+04 !	.10784880E+04 !
! 11 !	H2S !	.16511520E-08 !	.16698640E-08 !
! 12 !	N2 !	.10704470E+05 !	.10825780E+05 !
! 13 !	O3 !	.29492070E-03 !	.29826300E-03 !
! 14 !	O23 !	.17778410E+02 !	.17979890E+02 !
! 15 !	S !	.26078390E-04 !	.28396600E-04 !
! 16 !	O2 !	.61087920E+01 !	.61780230E+01 !
! 17 !	CHN !	.36395190E-12 !	.36807660E-12 !
! 18 !	CH4 !	.15959350E-19 !	.16140420E-19 !
! 19 !	CS !	.13111360E-17 !	.13259950E-17 !
! 20 !	C2H2 !	.52676160E-28 !	.53273140E-28 !
! 21 !	C2H4 !	.19516240E-33 !	.19737420E-33 !
! 22 !	NO !	.83186220E+00 !	.84128970E+00 !
! 23 !	NO2 !	.28343820E-03 !	.28665040E-03 !
! 24 !	O !	.36087390E-07 !	.36496360E-07 !

量을 사용했을 경우에 대한 컴퓨터 시뮬레이션 結果를 나타내는 一例이다. Table 4에서 알 수 있듯이 本研究에서는 元素 C, H, S, N 및 O의 組合으로 生成가능한 燃燒氣體 24種을 고려하여 化學平衡機構을 解析하였다.

### 3.1 燃燒空氣量에 따른 斷熱불꽃溫度 및 NO 生成量

Fig. 3은 燃燒空氣量에 따른 斷熱불꽃溫度 및 NO 生成量의 變化傾向을 나타내고 있다. 斷熱불꽃溫度의 경우 理論空氣量의 約 0.8倍 근방에서 最大值를 나타내었으며 空氣量이 增加할수록 불꽃溫度는 減少하였다.

燃料 1000g에 대한 NO의 生成量을 살펴보면 燃燒空氣量이 理論空氣量의 120% 부근까지는 燃燒空氣量의 增加에 따라 NO의 生成量도 增加되나 그以上에서는 NO의 生成量이 減少되는 傾向을 나타내었다. 이 倘現象은 燃燒氣體의 여러 平衡機構中 다음 式과 같은 化學方程式에서 N<sub>2</sub>, O<sub>2</sub>의 濃度와 热燃氣體의 溫度가 化學平衡機構에 複合的으로 影響을 미치기 때문에 나타난다.



환언하면, Fig. 3과 같은 現象은 燃燒空氣量이 理論空氣量의 120%가 될 때까지는 空氣量 增加에 따른 N<sub>2</sub>, O<sub>2</sub>의 濃度增加가 위의 平衡을 오른쪽으로 이동시키는 傾向이 燃燒氣體溫度의 減少가 左쪽으로 이동시키는 傾向보다 強하나 燃燒空氣量이 理論空氣量의 120% 以上에서는 溫度減少가 平衡狀態를 左쪽으로 이동시키는 傾向이 N<sub>2</sub>, O<sub>2</sub>의 濃度 增加가 오른쪽으로 이동시키는 傾向보다 強하기 때문에 일어나는 現象으로 解析할 수 있다.

### 3.2 一定 溫度에서 燃燒空氣量에 따른 NO 生成量의 變化

Fig. 4는 燃燒氣體의 溫度를 1300, 1500 및 1600K로 固定시켰을 때 過剩空氣量에 따라서 燃料 1000g當生成되는 NO의 g數를 나타내고 있다. 이 그림에서 검은 點은 Table 1의 燃料를 燃燒시켰을 때 發生되는 NO의 實測值<sup>(12)</sup>를 나타내고 있다.

一定 溫度에서 過剩空氣量이 增加하면 NO의 生成量도 增加하되, 一定한 燃燒空氣量에서 燃燒氣體의 溫度가 上승하면 NO 發生量 역시 上승한다. 热力學的 平衡機構에 의하여 NO의 平衡組成과 實測된組成을 比較하여 보면 過剩空氣量의 增加에 따라서 NO의 生成量이 增加되는 傾向은 同一하나 過剩空氣量에 대한 NO增加量의 比率은 同一하지 않는다는 것을 알 수 있다. 이

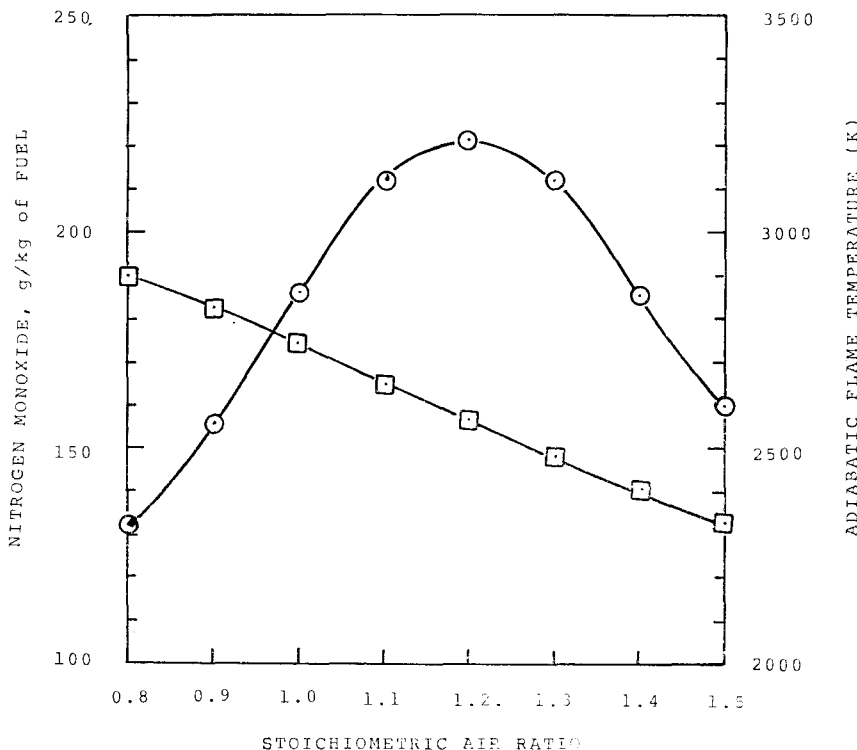


Fig. 3 Adiabatic flame temperature and quantity according to stoichiometric air ratio  
 □=Adiabatic flame temperature(K)  
 ○=NO quantity (g/kg of fuel)

현 결과는  $N_2$  와  $O_2$  가 反應하여 NO 가 形成되는 化學反應速度가 빠르지 않아서 平衡에 도달하는 時間이 오래 걸리기 때문에 發生되는 現象으로 설명할 수 있다.

Fig. 5는 過剩空氣量을 媒介變數로하고 燃燒氣體의 游度에 따른 燃料 1000g 當 NO의 生成量을 나타내고 있다. 이結果에 의하면 一定 游度에서 過剩空氣量이 10% 增加함으로써 增加되는 NO의 量보다 一定한 過剩空氣量에서 燃燒氣體의 游度가 100K 增加함으로써 增加되는 NO의 量이 크다는 것을 알 수 있다.

熱力學的 平衡機構 側面에서 NO의 生成 傾向을 살펴보면, 過剩空氣의 增加가 NO의 生成量에 미치는 影響보다 燃燒氣體 游度의 上승이 NO 生成量 增加에 미치는 影響이 크다는 것을 알 수 있다.

### 3.3 一定 游度에서 燃燒空氣量에 따른 CO 生成量의 變化

Fig. 6은 1600K에서 過剩空氣量에 따른 CO 生成量의 變化를 热力學的 平衡機構에 의하여 計算한 結果와 文獻(12)의 實測值를 나타내고 있다. 過剩空氣量의增

加에 따른 CO 生成量의 減少 傾向은 計算結果가 實測結果를 比較的 잘 대辯하고 있다. 燃料 1000g 當 CO의 生成量은 燃燒空氣量이 理論空氣量의 110%에서 급격히 減少하고 그以上에서는 거의 減少하지 않는 傾向을 보이고 있다.

熱力學的 平衡機構에 의한 CO 生成量이 實測值와 잘一致한다는 것은 燃料內의 炭素와 空氣內의 酸素가 結合하여 CO가 生成되는 化學反應速度가 比較的 빨라서 짧은 時間內에 平衡狀態에 도달함을 알 수 있다.

Fig. 7은 燃燒氣體의 游度를 媒介變數로 하고 過剩空氣量과 CO 生成量 사이의 函數關係를 나타내고 있다.

熱力學的 平衡機構에 의하면 一定한 燃燒空氣量에서 燃燒氣體의 游度가 上승할 수록 CO의 量이 增加되며 一定한 游度에서 過剩空氣量이 增加할 수록 CO發생量은 減少됨을 알 수 있다. CO의 生成量을 热力學的 平衡機構에 의하여 解析하면 過剩空氣量의 增加에 의하여 CO의 量을 줄이는 것보다는 燃燒氣體의 游度를 減少시킴으로써 CO의 生成量을 줄이는 것이 보다 效果의이라는 것을 알 수 있다. 그려라 燃燒氣體의 游度가

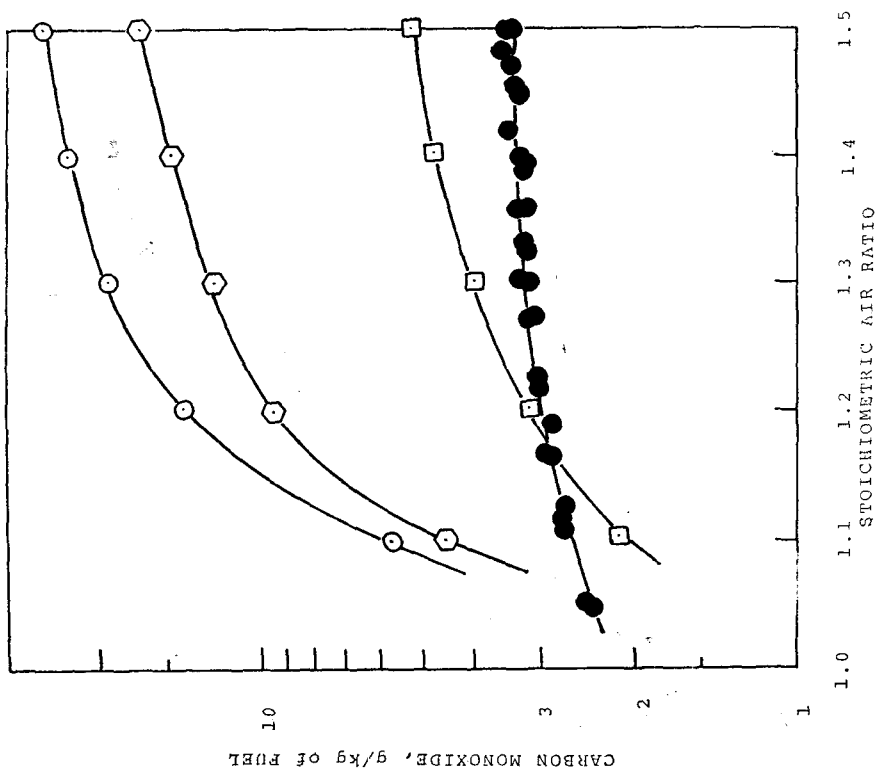


Fig. 4 CO quantity vs. stoichiometric air ratio according to various temperature of combustion gas  
 ○ = 1600K (calculated)      ○ = 1500K (calculated)  
 □ = 1400K (calculated)      ● = measured data

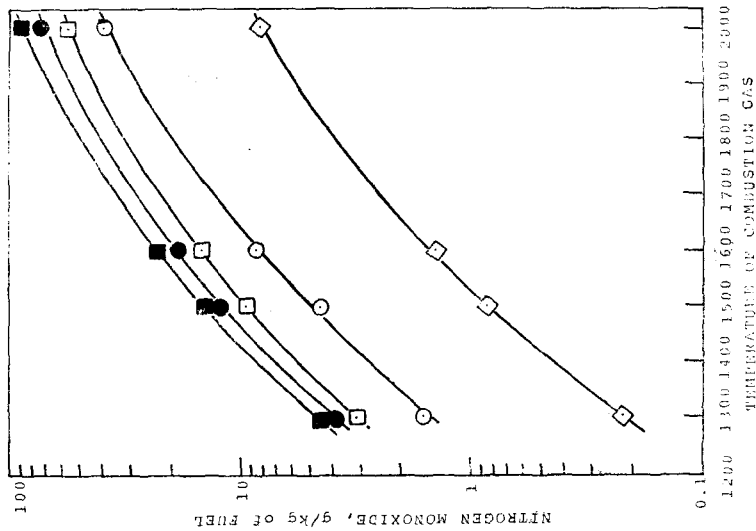


Fig. 5 NO quantity calculated vs. temperature of combustion gas according to stoichiometric air ratio  
 ■ = air ratio, 1.4    ● = air ratio, 1.3  
 □ = air ratio, 1.2    ○ = air ratio, 1.1  
 ◇ = air ratio, 1.0

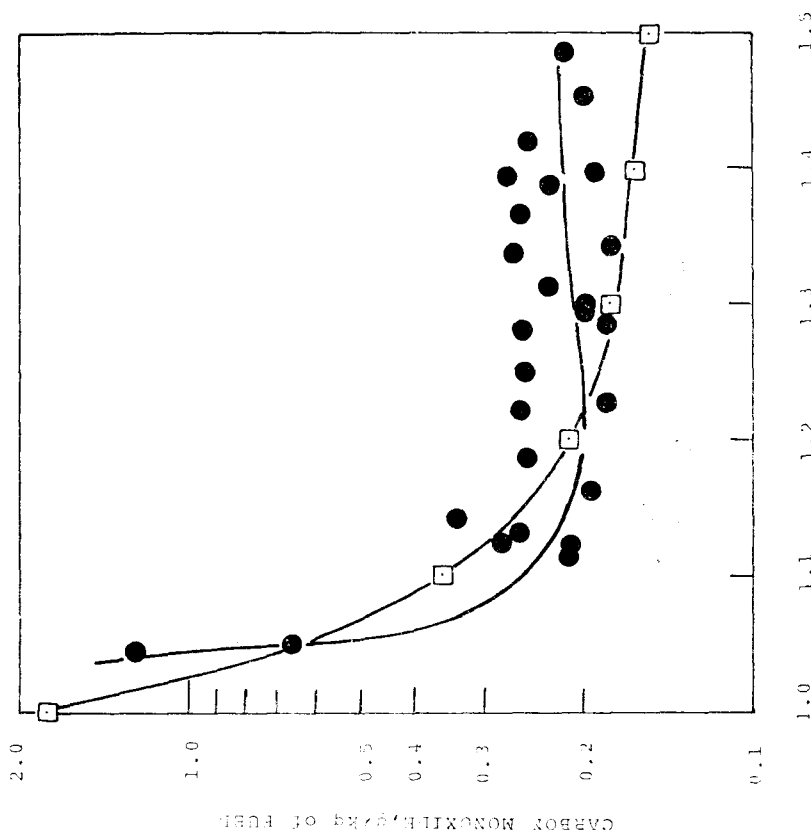


Fig. 6 CO quantity vs. stoichiometric air ratio  
 □ = calculated at 1600K   ● = measured

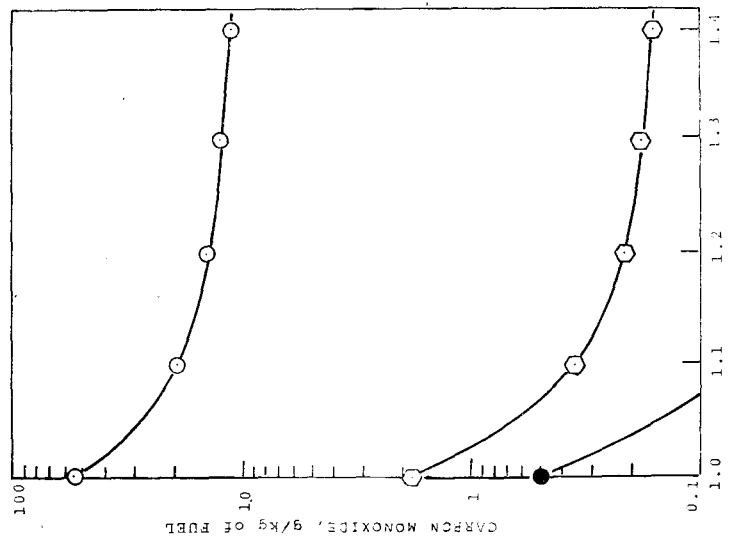


Fig. 7 CO quantity calculated vs. stoichiometric air ratio according to temperature of combustion  
 ○ = 2000K   ◻ = 1600K   ● = measured

1000K 以下로 低下되면 이로한인 燃燒反應速度 또한 低下되어 熱力學의 平衡에 도달하는 時間이 길어져서 燃燒氣體가 燃燒裝置內에 머무는 時間이 짧은 경우에는 少은 量의 CO 가 발생된다.

#### 4. 結 論

Gibbs 自由에너지 最小化法 및 엔탈피收支에 의하여 Table 1의 燃料의 燃燒에 대한 燃燒組成 및 斷熱불꽃 溫度 計算結果를 綜合하면 다음과 같다.

- (1) 最大斷熱불꽃溫度는 燃燒空氣量이 理論空氣量의 80% 근방에서 形成되었으며 過剩空氣量 增加에 따라 減少하였다.
- (2) 斷熱過程에서 NO의 最大生成量은 燃燒空氣量이 理論空氣量의 約 120% 근방에서 발생하였다.
- (3) 一定 溫度에서 燃燒空氣量 10%의 增加가 NO 生成量에 미치는 影響보다 燃燒氣體의 溫度 100K 增加가 NO 生成量에 미치는 影響이 크게 나타났다.
- (4) 熱力學的 平衡機構에 의하면 溫度가 상승하면 CO의 生成量이 증가하고 過剩空氣量이 증가하면 CO의 生成量은 減少한다.

本 研究의 結果는 熱力學的 平衡機構에 基盤을 둔 것이다. 따라서 燃燒氣體의 보다 正確한 解析을 위해서는 化學反應速度論의 研究가 補完되어야 한다.

#### 後 記

本 研究은 韓國科學財團 借款研究費의 一部로 이루어진 것입니다. 이에 대하여 심심한 感謝를 드립니다.

#### 參 考 文 獻

- (1) Wark, K. & Warner, C.F., Air Pollution, Harper & Row publisher, New York, 1981
- (2) Tranie, L.A. & Shera, G., Combustion du Fuel

- Lourd en Pulverisation Mecanique Reductions Possibles des Emission Ponderables, Rev. Gen. Ferm., No. 196, France, 1978
- (3) Murayama, T., Tsukahara, M. & Morishima, Y., Experimental Reduction of NO<sub>x</sub>, Smoke and BSFC in a Diesel Engine Using Uniquely produced Water to Fuel Emulsion, SAE 780224, 1978
- (4) B., Crayel, Methode de Calcul des Performances des Propergols dans le Cas de Systemes Chimiques Heterogenes Comples, Energie, No. 9, 1966
- (5) Zeldovich, Ya. B. et al., Mathematical Theory of Combustion and Explosions, Plenum Publishing Crop., New York and London, 1985
- (6) Engleman, V.S. et al., Experimental and Theoretical Studies of NO<sub>x</sub> Formation in a Jet-Stirred Combustor, Fourteenth Symposium on Combustion, pp. 755~765, 1973
- (7) Smith, J.M. & Van Ness, H.C., Introduction to Chemical Engineering Thermodynamics, McGraw-Hill, 1975
- (8) Kandiner, H.J. & Brinkley, S.R., Ind. & Eng. Chem., Vol. 42, No. 5, pp. 850~855, 1950
- (9) Zelenik & Gordon, S., Ind. & Eng. Chem., Vol. 60, No. 27, 1968
- (10) Jenson, V.G. & Jefferys, G.V., Mathematical Methods in Chemical Engineering, Academic Press, 1963
- (11) Stull, D.R. & Prophet, H., JANAF Thermochemical Tables, 2nd ed. NSRDSNAS Dow Chemical Co., Midland, Mich., 1971
- (12) Hall, R.E., The Effect of Water/Residual Oil Emulsions on Air Pollutant Emissions and Efficiency of Commercial Boilers J. of Eng. for Power, pp. 425~434, 1976